



UNIVERSITÄTS-  
BIBLIOTHEK  
PADERBORN

## **Die Statik im Stahlbetonbau**

**Beyer, Kurt**

**Berlin [u.a.], 1956**

Trapezrahmen mit räumlicher Belastung

---

[urn:nbn:de:hbz:466:1-74292](https://nbn-resolving.org/urn:nbn:de:hbz:466:1-74292)

Berechnung für $w = 1 \text{ t/m}^2$								$w = 0,250 \text{ t/m}^2$	
$a/l_1$	$M_{y,0}$	$M_{z,0}$	$\lambda_1$	$n$	$n \lambda_1$	$\lambda_2$	$n \lambda_2$	$M_{y,0} [\text{mt}]$	$M_{z,0} [\text{mt}]$
0	0	0	0	1	0	1	1	0	0
0,1	- 1,023	- 0,387	+ 2,087	4	+ 8,348	1,332	5,328	- 0,256	- 0,0978
0,2	- 4,163	- 0,750	+ 7,873	2	+ 15,746	2,351	4,702	- 1,041	- 0,188
⋮	⋮	⋮	⋮	⋮	⋮	⋮	⋮	⋮	⋮
1	- 188,510	+ 12,995	- 754,976	1	- 754,976	31,026	31,026	- 47,128	+ 3,249
$\Sigma = - 3388,492$						$\Sigma = 420,052$			

Mit  $w = 0,250 \text{ t/m}^2$  wird

$$\frac{1}{2} \delta_{10} = - \frac{1,372}{3} \cdot 3388,492 \cdot 0,250 = - 387,417,$$

$$\frac{1}{2} \delta_{11} = + \frac{1,372}{3} \cdot 420,052 = + 192,104,$$

$$X_1 = - \frac{387,417}{192,104} = - 2,017 \text{ mt.}$$

5. Schnittkräfte und Spannungen. Nach Gl. (883) wird

$$M_y = M_{y,0} + 2,017 \cos \alpha, \quad M_z = M_{z,0} - 2,017 \sin \alpha.$$

$a/l_1$	0	0,2	0,4	0,6	0,8	1,0	
$M_y$	+ 2,017	+ 0,969	- 2,454	- 9,278	- 21,812	- 45,564	mt
$M_z$	0	- 0,360	- 0,673	- 0,780	- 0,217	+ 1,975	mt

Die Momente sind in Abb. 583 dargestellt. Die größten Spannungen treten am Kämpfer auf.

$$\sigma_x = \frac{6 M_y}{d_1 d_2^2} = \frac{6 \cdot 45,564}{0,77 \cdot 100} = 3,55 \text{ t/m}^2 = 0,36 \text{ kg/cm}^2.$$

Nach S. 30 ist nach C. Weber  $\psi_1 \approx 1$  und

$$\tau_{\max} = \frac{M_z}{T} \psi_1 d_1 = \frac{1,975}{1,462} \cdot 1 \cdot 0,77 = 1,04 \text{ t/m}^2 = 0,104 \text{ kg/cm}^2.$$

**Berechnung eines eingespannten, symmetrischen Trapezrahmens mit räumlicher Belastung.**

$$l'_{1y} = l_1 \frac{J_c}{J_{y,1}}, \quad s'_y = s \frac{J_c}{J_{y,s}}, \quad \kappa_y = \frac{l'_{1y}}{s'_y}, \quad \varrho_t = \frac{l''_1}{l'_{1,y}} = \frac{E J_{y,1}}{G T_1}, \quad \varrho_s = \frac{s''}{s'_y} = \frac{E J_{y,s}}{G T_s}.$$

$$m = \frac{l_1}{2} \cos \alpha - b_0 \sin \alpha,$$

$$n = \frac{l_1}{2} \sin \alpha + b_0 \cos \alpha.$$

Abb. 584.

Belastung  $X_3 = \delta_{30}/\delta_{33}$  und  $X_2 = \delta_{20}/\delta_{22}$  am Hebelarm  $b_0$ , so daß  $\delta_{23} = 0$  (Abb. 584).

Vorzahlen. Mit den Abkürzungen

$$\psi_1 = 2 (\cos^2 \alpha + \varrho_s \sin^2 \alpha),$$

$$\psi_2 = 2 + 6 \frac{m}{s} \left( \frac{m}{s} + 1 \right) + \kappa_y \left( \frac{l_1}{2s} \right)^2 + 6 \varrho_s \left( \frac{n}{s} \right)^2 + 3 \kappa_y \varrho_t \left( \frac{b_0}{s} \right)^2,$$

$$\psi_3 = 2 (\sin^2 \alpha + \varrho_s \cos^2 \alpha)$$

$$\text{wird } \delta_{11} = s' (\kappa_y + \psi_1), \quad \delta_{22} = \frac{s' s^2}{3} \psi_2, \quad \delta_{33} = s' (\psi_3 + \kappa_y \varrho_t).$$

Das Hauptsystem besteht aus 2 Kragträgern. Die Überzähligen sind bei symmetrischer Belastung  $X_1 = \delta_{10}/\delta_{11}$ , bei antisymmetrischer

Aus  $\delta_{23} = 0$  folgt  $b_0 = \frac{[s + l_1(1 - \rho_s) \cos \alpha] \sin \alpha}{\psi_3 + \kappa_v \rho_l}$

Belastung. a) Einzellast  $P$  senkrecht zur Rahmen-ebene und zwei Momente  $M_a, M_b$  in der Rahmen-ebene am Eckpunkt  $c$  (Abb. 585). Das Ergebnis wird für den symmetrischen und den antisymmetrischen Anteil getrennt angegeben.

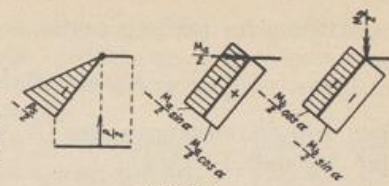


Abb. 585.

Symmetrischer Anteil	$X_1$ [mt]	Antisymmetrischer Anteil	$X_2$ [t]	$X_3$ [mt]
	$-\frac{Pa}{2} \frac{1}{\psi_1 + \kappa_v}$		$\frac{P}{2} \frac{2 + 3 \frac{m}{s}}{\psi_2}$	$\frac{Ph}{2} \frac{1}{\psi_3 + \kappa_v \rho_l}$
	$-\frac{M_a}{2} \frac{1 - \rho_s}{\psi_1 + \kappa_v} \frac{2ah}{s^2}$		$\frac{3}{2} \frac{M_a}{s} \frac{\Phi_2}{\psi_2}$	$\frac{M_a}{2} \frac{\psi_3}{\psi_3 + \kappa_v \rho_l}$
	$-\frac{M_b}{2} \frac{\psi_1}{\psi_1 + \kappa_v}$		$\frac{3}{2} \frac{M_b}{s} \frac{\Phi_1}{\psi_2}$	$\frac{M_b}{2} \frac{1 - \rho_s}{\psi_3 + \kappa_v \rho_l} \frac{2ah}{s^2}$

$\Phi_1 = \left(1 + 2 \frac{m}{3}\right) \cos \alpha + 2 \rho_s \frac{n}{s} \sin \alpha, \quad \Phi_2 = \left(1 + 2 \frac{m}{3}\right) \sin \alpha - 2 \rho_s \frac{n}{s} \cos \alpha.$

b) Gleichmäßig verteilte, waagerechte Belastung auf dem Riegel  $l_1$  (Abb. 586). Die Belastung ist symmetrisch, daher  $X_2 = X_3 = 0$ .

$$\delta_{10} = -p s' \frac{l_1^2}{8} \left[ \frac{\kappa_v}{3} + 4 \frac{s}{l_1} \cos \alpha + \psi_1 \right],$$

$$X_1 = -p \frac{l_1^2}{8} \frac{\frac{1}{3} \kappa_v + 4 \frac{s}{l_1} \cos \alpha + \psi_1}{\kappa_v + \psi_1}.$$

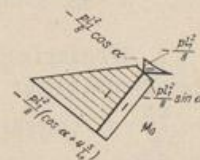


Abb. 586.

Hawranek, A.: Allgemeine Theorie der Wirkung von Querriegeln bei zweireihigen Bogenbrücken. Verhandlungen des 2. Internat. Kongr. f. Techn. Mech., Zürich 1927. — Schwarz, R.: Durchlaufende Bogen unter räumlicher Belastung. Bautechn. 1927 S. 449. — Derselbe: Berechnung des Rahmenwindverbandes von Zweigelenkbogenbrücken mit Kreisform und unveränderlichem Trägheitsmoment bei Berücksichtigung elastischer Einspannung durch die Endquerträger. Beton u. Eisen 1928 S. 31.

### 64. Der Kreisringträger.

Die allgemeine Theorie des querbelasteten Kreisringträgers ist in zahlreichen Arbeiten ausführlich behandelt worden. Sie stützen sich in der Regel auf die Gleichung der elastischen Linie. Da hier jedoch nur einzelne für den Konstrukteur wichtige Ergebnisse angegeben werden sollen, um die Eigenart des Ansatzes aufzuzeigen und die Lösung wichtiger Aufgaben zu erleichtern, wird auf die allgemeine Untersuchung der Formänderung des Trägers verzichtet.

Aus dem Gleichgewicht der äußeren Kräfte an einem Abschnitt  $ds$  folgt nach (68) und Abb. 587

$$\frac{dQ}{d\alpha} = -pr, \quad \frac{dM_x}{d\alpha} = -M_y, \quad \frac{dM_y}{d\alpha} = M_x + Qr. \quad (888)$$

Den Nullstellen des Biegemomentes  $M_y$  sind daher Größtwerte des Drillungsmomentes  $M_x$ , den Größtwerten des Biegemomentes  $M_y$  Wendepunkte der Funktion des Drillungsmomentes  $M_x$  zugeordnet.